

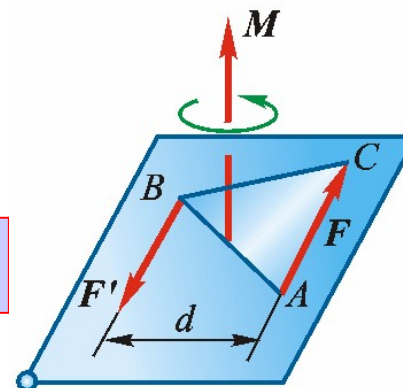
上节课内容回顾

1. 空间力偶系

矢量（大小=力*力臂，转向：右手法则，
 方向：力偶作用面的法向）

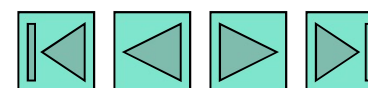
在同一个刚体内可以自由移动，矢量加法

$$\vec{M} = \vec{r}_{BA} \times \vec{F}$$



2. 空间力系简化：根据主矢与主矩是否为0，存在四种组合

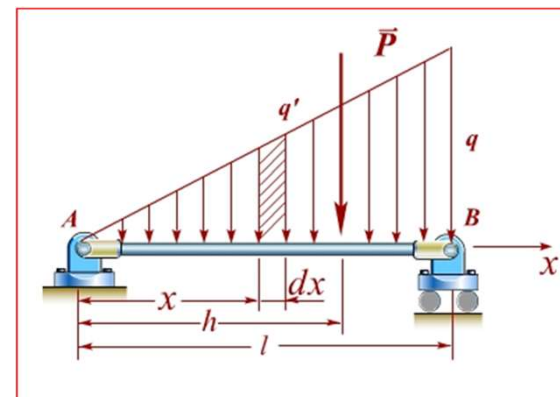
主矢	主矩	最终简化结果	说明
$\mathbf{F}'_R = 0$	$M_O = 0$	平衡	
	$M_O \neq 0$	力偶	此种情形的主矩与简化中心无关
$\mathbf{F}'_R \neq 0$	$M_O = 0$	集中力	集中力作用线过简化中心
	$M_O \neq 0$	$\mathbf{F}'_R \perp \mathbf{M}_O$	集中力作用线到简化中心的 $d = M_O / F'_R $
		$\mathbf{F}'_R \parallel \mathbf{M}_O$	力螺旋的力过简化中心
		\mathbf{F}'_R 与 \mathbf{M}_O 夹角 θ	力螺旋的力到简化中心的距离 $d = M_O \sin\theta / F'_R $



一. 平行力系中心

物体重力合力的作用点为物体的重心。

重心就是主矩为0的平行力系的简化中心



合力矩定理

$$\bar{r}_C = \frac{F_1 \bar{r}_1 + F_2 \bar{r}_2}{F_1 + F_2}$$



$$\bar{r}_C = \frac{\sum F_i \bar{r}_i}{\sum F_i}$$

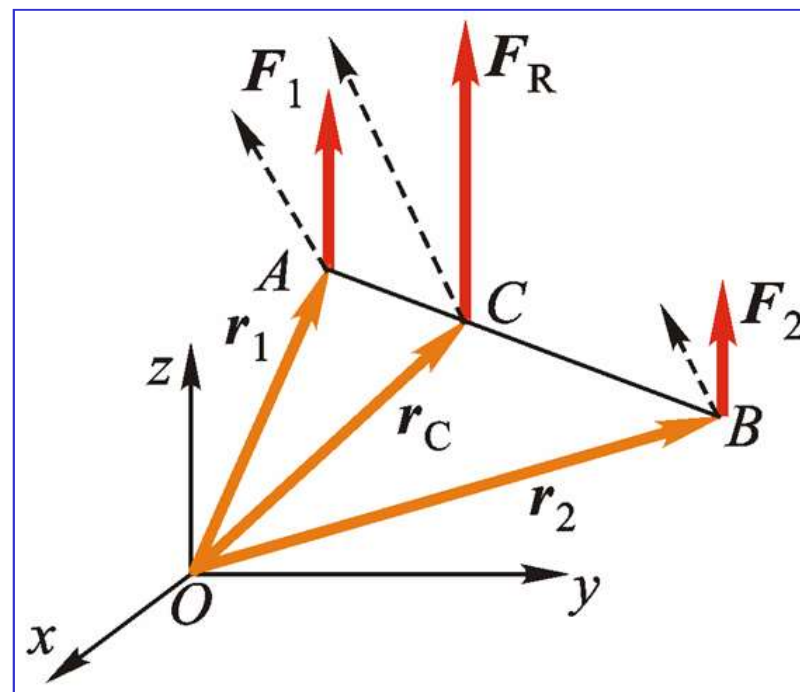
分力对任意点的力矩和等于合力对该点的力矩

$$x_C = \frac{\sum F_i x_i}{\sum F_i}$$

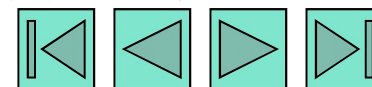


$$y_C = \frac{\sum F_i y_i}{\sum F_i}$$

$$z_C = \frac{\sum F_i z_i}{\sum F_i}$$

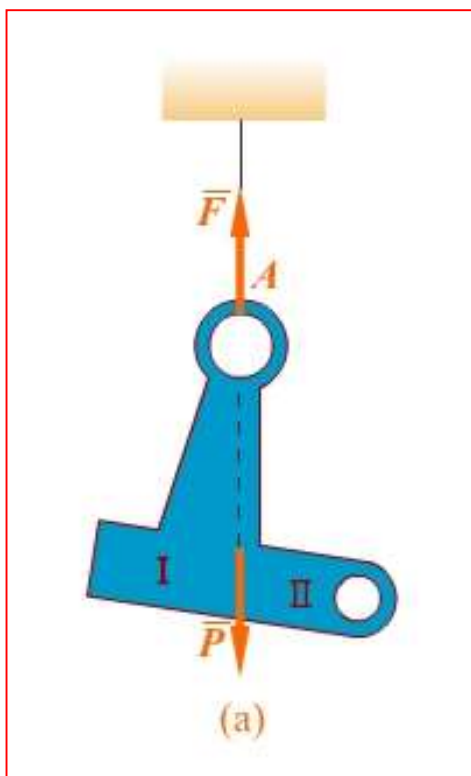


平行力系合力作用点的位置



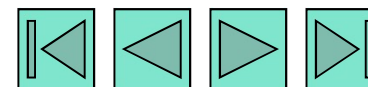
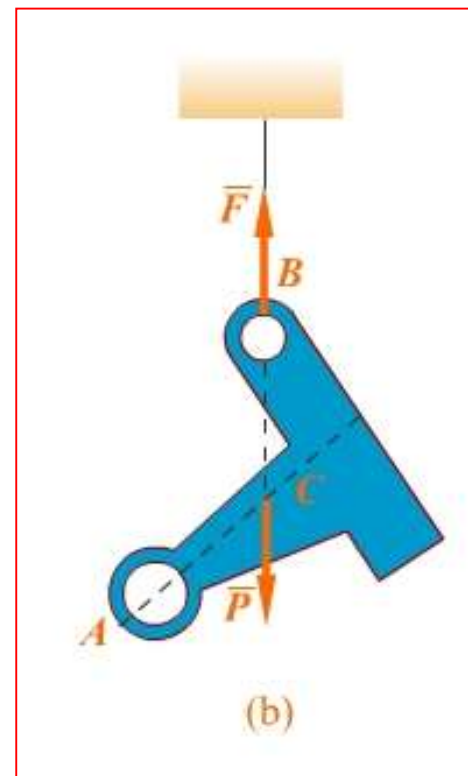
二. 确定重心的实验方法：悬挂法与称重法

悬挂法



二力平衡

重心位于力
作用线上



称重法

$$P \cdot x_C = F_1 \cdot l \quad \text{则} \quad x_C = \frac{F_1}{P} l$$

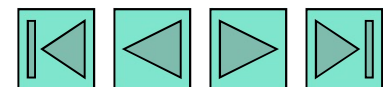
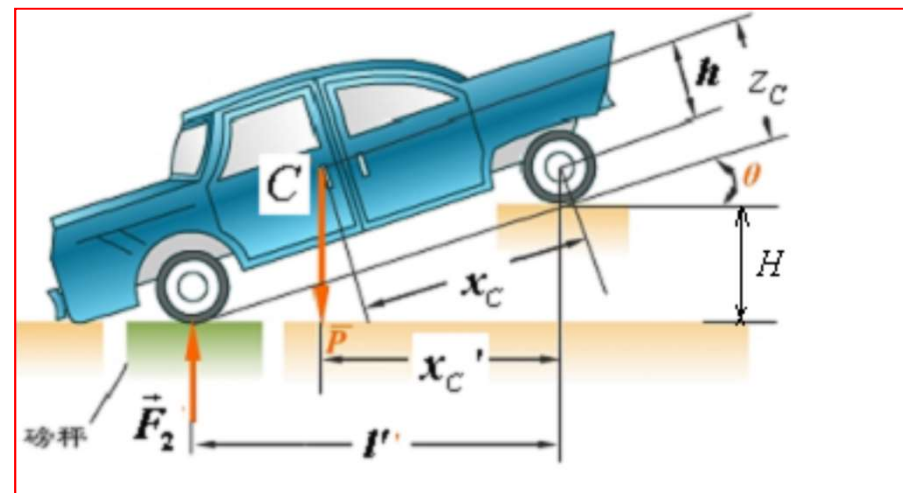
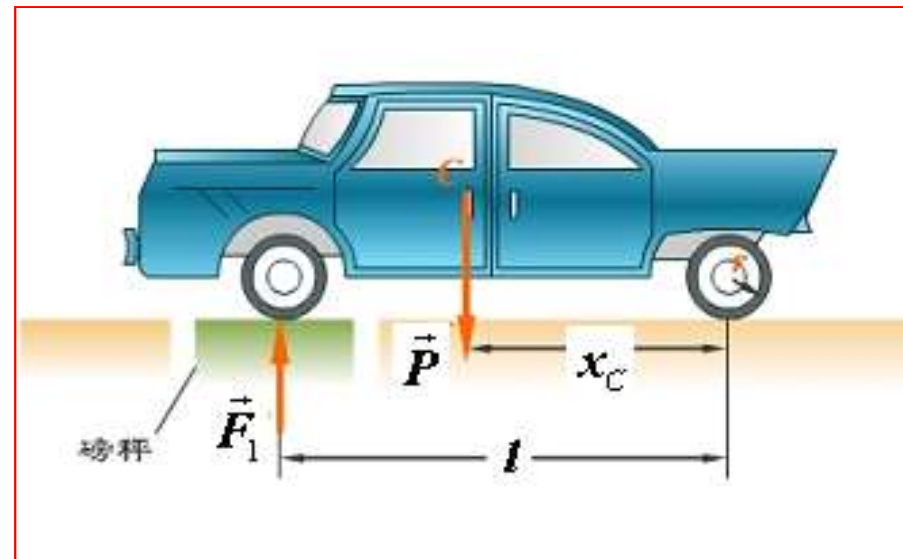
$$P \cdot x'_C = F_2 \cdot l' \quad \text{则} \quad x'_C = \frac{F_2}{P} l'$$

$$l' = l \cos \theta$$

这是水平方向的重心。
竖直方向怎么确定？

方法1：吊起来找力作用线

方法2：竖直抬起后轮，测量前轮的
压力变化



称重法

$$x_C = \frac{F_1}{P} l \quad x'_C = \frac{F_2}{P} l' \quad \text{测量得到}$$

$$l' = l \cos \theta \quad \text{几何关系}$$

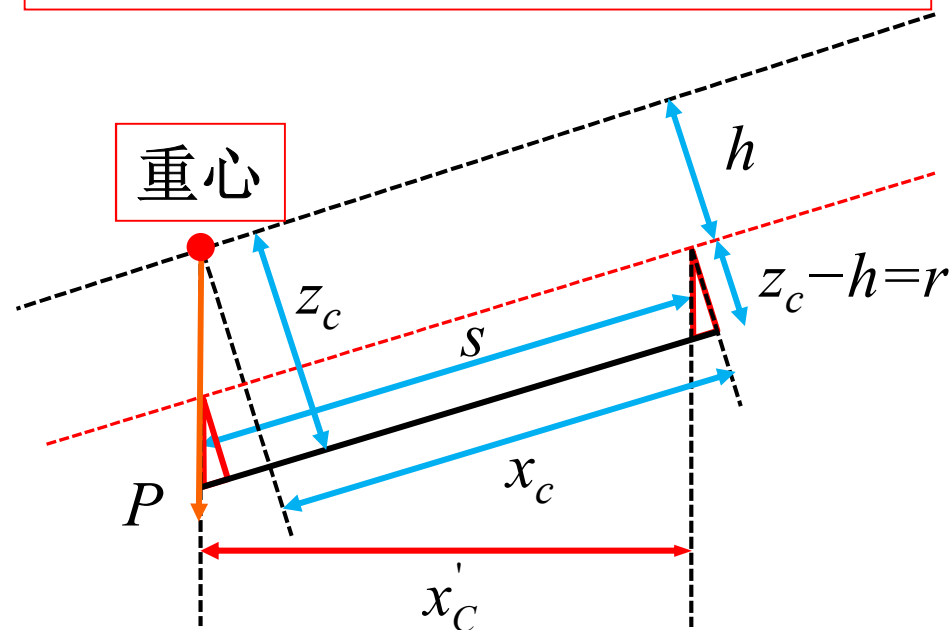
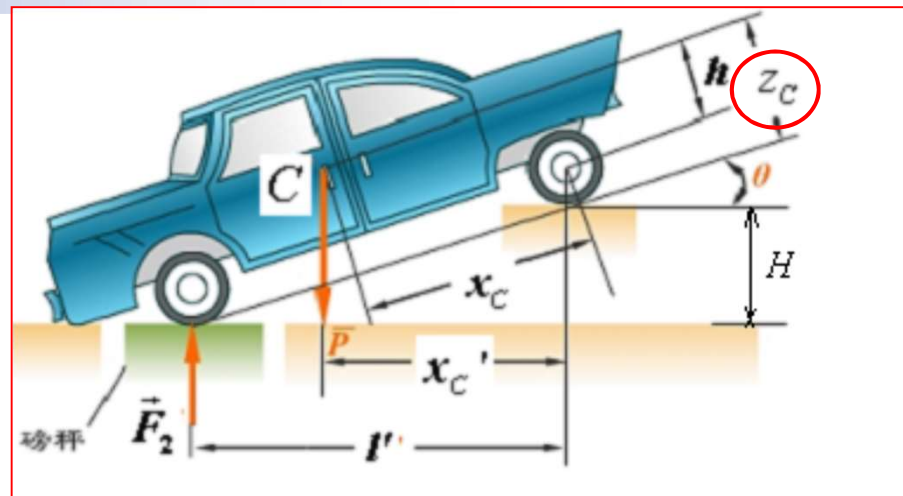
$$x'_C = s \cos \theta = x_C \cos \theta + h \sin \theta$$

$$\sin \theta = \frac{H}{l} \quad \cos \theta = \frac{\sqrt{l^2 - H^2}}{l}$$

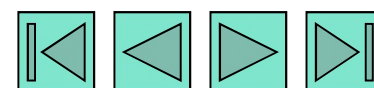
$$\Rightarrow x'_C = \frac{x_C}{l} \sqrt{l^2 - H^2} + (z_C - r) \frac{H}{l}$$

$$x'_C = \frac{F_2}{P} l' = \frac{F_2}{P} \sqrt{l^2 - H^2} \quad x_C = \frac{F_1}{P} l$$

$$\Rightarrow z_C = r + \frac{F_2 - F_1}{P} \cdot \frac{1}{H} \cdot \sqrt{l^2 - H^2}$$



$$s = x_C + z_C \tan \theta - (z_C - h) \tan \theta = x_C + h \tan \theta$$



三. 计算重心坐标的公式

$$x_C = \frac{\sum P_i x_i}{P}$$

$$y_C = \frac{\sum P_i y_i}{P}$$

$$z_C = \frac{\sum P_i z_i}{P}$$

$P_i = m_i g$ 为第 i 部分
物体的重力

对均质物体，均质板状物体，有

$$x_C = \frac{\sum V_i x_i}{V} \quad y_C = \frac{\sum V_i y_i}{V} \quad z_C = \frac{\sum V_i z_i}{V}$$

均质物体密度不变 (ρ)

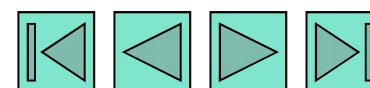
$P_i = \rho V_i g$, V_i 为第 i 部分物
体的体积

$$x_C = \frac{\sum A_i x_i}{A} \quad y_C = \frac{\sum A_i y_i}{A} \quad z_C = \frac{\sum A_i z_i}{A}$$

等厚度物体 (h)

$V_i = h A_i$, A_i 为第 i 部分物
体的面积

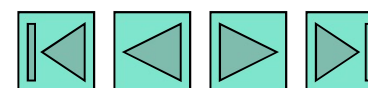
--称为重心或形心公式



对均质物体，均质板状物体，均质杆，重心位置只决定于物体的体积和形状，**重心**与物体的几何中心（即**形心**）重合。

均质物体的形心

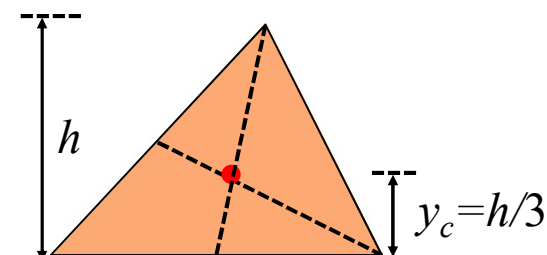
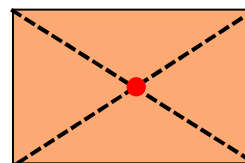
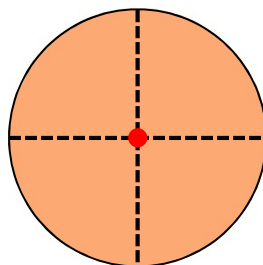
均质体	均质等厚薄板	等截面细杆
$X_C = \frac{\int_v x dV}{V}$	$X_C = \frac{\int_s x dA}{A}$	$X_C = \frac{\int_l x dl}{l}$
$Y_C = \frac{\int_v y dV}{V}$	$Y_C = \frac{\int_s y dA}{A}$	$Y_C = \frac{\int_l y dl}{l}$
$Z_C = \frac{\int_v z dV}{V}$	$Z_C = \frac{\int_s z dA}{A}$	$Z_C = \frac{\int_l z dl}{l}$



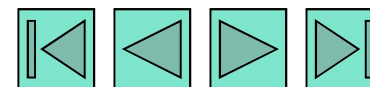
确定重心位置的计算方法

- (1) 直接法 直接根据中心坐标公式进行计算;
- (2) 对称物体 具有对称面、对称轴和对称中心的形状规则的均质物体, 其重心一定在对称面、对称轴和对称中心上.

如矩形、圆、
球体……



- (3) 组合物体 常用分割法或负面积法确定重心位置。即将组合物体分成若干形状简单、重心位置易求出的物体。



例3-12(重心分割法求解)

已知：均质**等厚**Z字型薄板尺寸如图所示。求：其重心坐标

解：厚度方向重心坐标已确定，只求重心的 x, y 坐标即可。

用虚线分割如图，为三个小矩形，其面积与坐标分别为

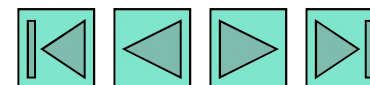
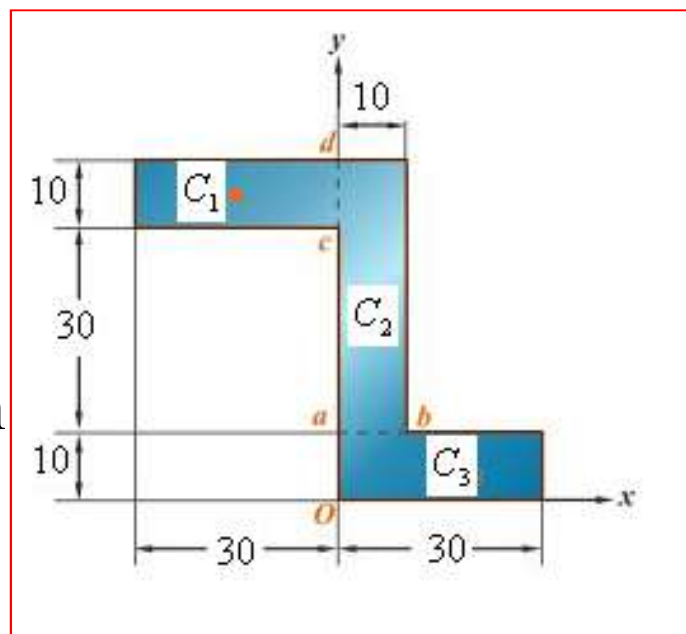
$$x_1 = -15\text{mm} \quad y_1 = 45\text{mm} \quad A_1 = 300\text{mm}^2$$

$$x_2 = 5\text{mm} \quad y_2 = 30\text{mm} \quad A_2 = 400\text{mm}^2$$

$$x_3 = 15\text{mm} \quad y_3 = 5\text{mm} \quad A_3 = 300\text{mm}^2$$

$$\text{则 } x_C = \sum \frac{A_i x_i}{A} = \frac{A_1 x_1 + A_2 x_2 + A_3 x_3}{A_1 + A_2 + A_3} = 2\text{mm}$$

$$y_C = \sum \frac{A_i y_i}{A} = \frac{A_1 y_1 + A_2 y_2 + A_3 y_3}{A_1 + A_2 + A_3} = 27\text{mm}$$



例3-13 (重心负面积法求解)

已知：等厚均质偏心块的 $R = 100\text{mm}$, $r = 17\text{mm}$, $b = 13\text{mm}$

求：其重心坐标。

解：用负面积法，为三部分组成。

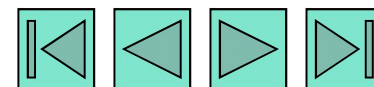
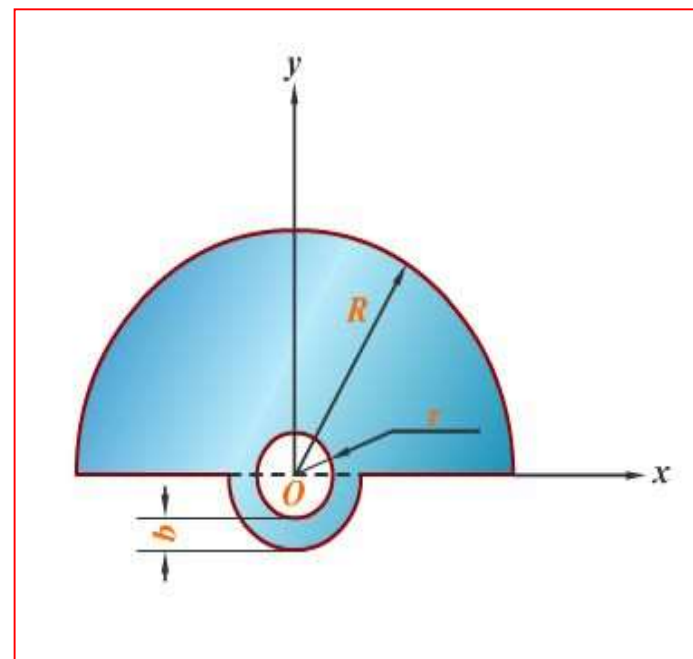
由**对称性**，有 $x_C = 0$

$$A_1 = \frac{\pi}{2}R^2, A_2 = \frac{\pi}{2}(r+b)^2, A_3 = -\pi r^2$$

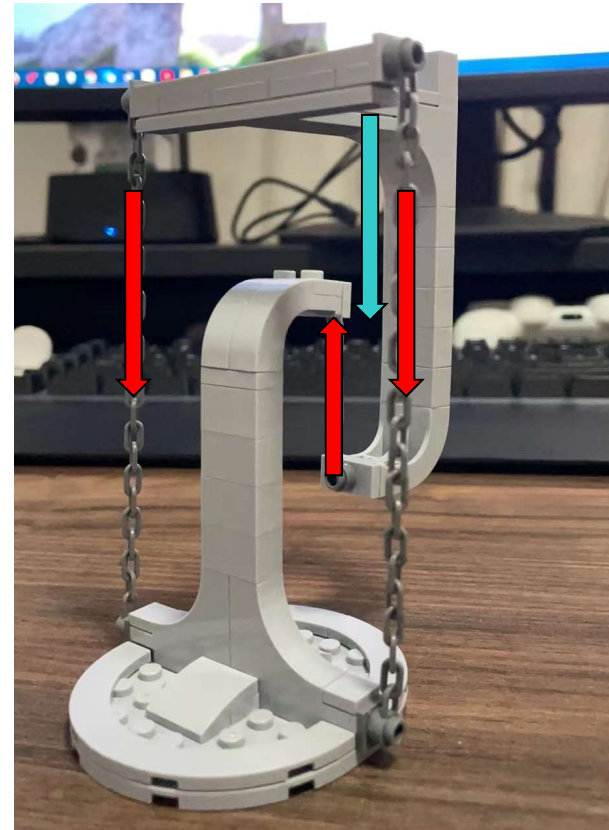
$$y_1 = \frac{4R}{3\pi}, y_2 = -\frac{4(r+b)}{3\pi}, y_3 = 0$$

$$\text{由 } y_C = \frac{\sum A_i y_i}{A}$$

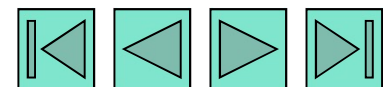
$$\text{得 } y_C = \frac{A_1 y_1 + A_2 y_2 + A_3 y_3}{A_1 + A_2 + A_3} = 40.01\text{mm}$$



张拉整体结构 (Tensegrity)

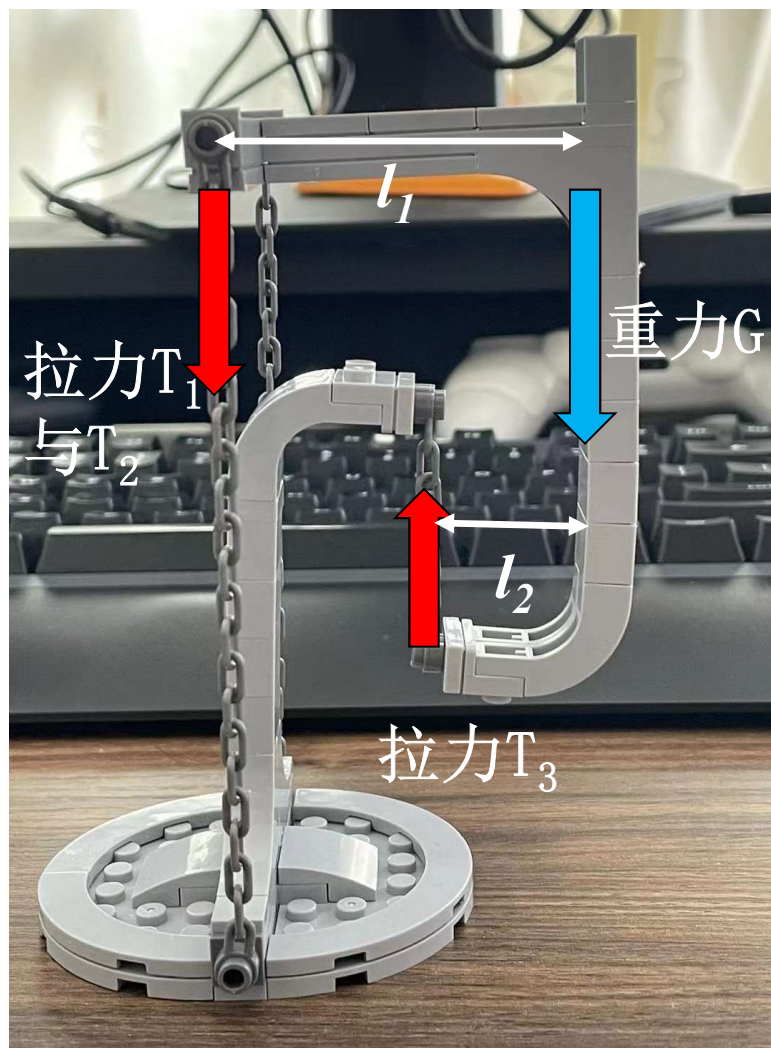


绳索的拉力与杆件的重力组成一个空间平行力系



张拉整体结构 (Tensegrity)

如何安排重心位置是实现平衡的前提



$$T_1 = T_2$$

$$2T_1 + G = T_3$$

$$Gl_2 = 2T_1(l_1 - l_2)$$



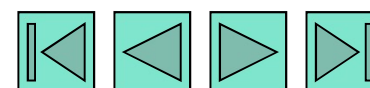
$$2Gl_2/(l_1 - l_2) + G = T_3 > 0$$



$$(l_1 + l_2)/(l_1 - l_2) > 0$$



$$l_1 > l_2$$



2-4 物体重 $P=20\text{ kN}$, 用绳子挂在支架的滑轮 B 上, 绳子的另一端接在绞车 D 上, 如图 T2-4 所示。转动绞车, 物体便能升起。设滑轮的大小, 杆 AB 与 CB 自重及摩擦均略去不计, A, B 和 C 三处均为铰链连接。当物体处于平衡状态时, 求拉杆 AB 和支杆 CB 所受的力。

解 选择滑轮 B 为研究对象, 受力分析如图 J2-4 所示。图中: ①确定 F_{AB} 和 F_{CB} 的方向分别利用了 AB 和 BC 二力杆的特性; ②由滑轮性质可确定 $F_{DB}=P$ 。

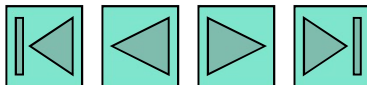
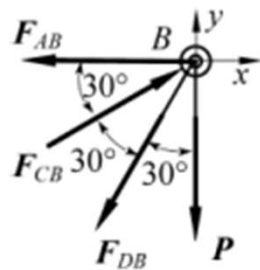
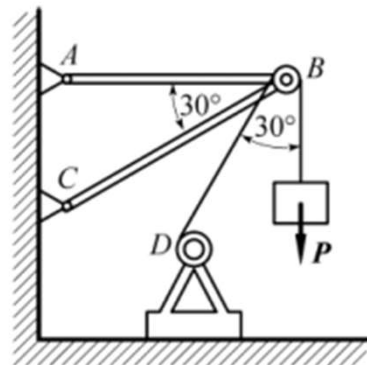
列平衡方程组:

$$\begin{cases} \sum F_x = 0: -F_{AB} + F_{CB} \cos 30^\circ - F_{DB} \sin 30^\circ = 0 \\ \sum F_y = 0: -P + F_{CB} \sin 30^\circ - F_{DB} \cos 30^\circ = 0 \end{cases}$$

解得

$$F_{CB} = (2 + \sqrt{3})P = 74.641\text{ kN}; \quad F_{AB} = (1 + \sqrt{3})P = 54.641\text{ kN}$$

平衡的刚体系可以选取任意部分列平衡方程



2-5 图 T2-5 所示为一拔桩装置。在木桩的点 A 上系一绳,将绳的另一端固定在点 C,在绳的点 B 系另一绳 BE,将它的另一端固定在点 E。然后在绳的点 D 用力向下拉,使绳的 BD 段水平,AB 段竖直,DE 段与水平线、CB 段与竖直线间成等角 $\theta = 0.1 \text{ rad}$ (当 θ 很小时, $\tan\theta \approx \theta$)。如向下的拉力 $F = 800 \text{ N}$,求绳 AB 作用于桩上的拉力。

解 取 D 作受力分析,如图 J2-5(a)所示。列平衡方程组有

$$\begin{cases} \sum F_x = 0: F_{BD} - F_{ED} \cos\theta = 0 \\ \sum F_y = 0: F_{ED} \sin\theta - F = 0 \end{cases}$$

解得 $F_{BD} = F \cot\theta$ 。

再取 B 点作受力分析,如图 J2-5(b)所示,图中 $F'_{BD} = F_{BD}$ 。对图 J2-5(b)列平衡方程组有

$$\begin{cases} \sum F_x = 0: F_{CB} \sin\theta - F'_{BD} = 0 \\ \sum F_y = 0: F_{CB} \cos\theta - F_{AB} = 0 \end{cases}$$

解得

$$F_{AB} = F'_{BD} \cot\theta = F \cot^2\theta$$

DE、BD与BC段绳索可以理解为分离,各自张力不同

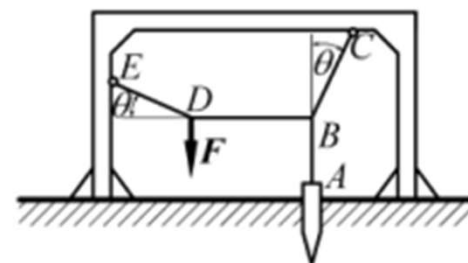
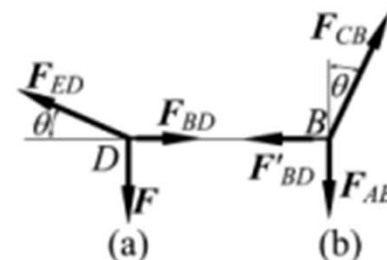
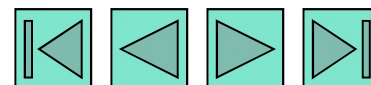
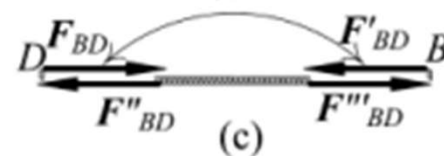


图 T2-5

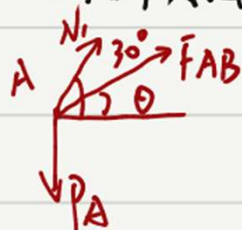


并非严格的作用力与反作用力对



2-8 在杆 AB 的两端用光滑铰链与两轮中心 A 和 B 相连, 并将它们置于两光滑斜面上。①两轮重量均为 P , 杆重不计, 求平衡时角 θ 的值。②如轮重量 $P_A = 300 \text{ N}$, 欲使平衡时杆 AB 处于水平位置($\theta = 0^\circ$), 轮 B 重量 P_B 应为多少?

2.8 对球 A 进行受力分析:



平衡方程:

$$\begin{cases} \sum F_x = 0 \\ \sum F_y = 0 \end{cases} \Rightarrow \begin{cases} F_{AB} \cos \theta + N_1 \cos 30^\circ = 0 \\ F_{AB} \sin \theta + N_1 \sin 30^\circ = P_A \end{cases}$$

对球 B 进行受力分析:

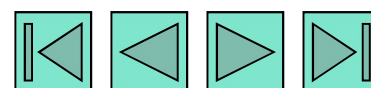


平衡方程:

$$\begin{cases} \sum F_x = 0 \\ \sum F_y = 0 \end{cases} \Rightarrow \begin{cases} F_{AB} \cos \theta + N_2 \cos 60^\circ = 0 \\ F_{AB} \sin \theta + P_B = N_2 \sin 60^\circ \end{cases}$$

1) 当 $P_A = P_B = P$ 时, 此时解得 $\theta = 30^\circ$

2) 当 $\theta = 0^\circ$ 时, 此时解得 $P_B = 100 \text{ N}$



2-8 在杆 AB 的两端用光滑铰链与两轮中心 A 和 B 相连,并将它们置于两光滑斜面上。①两轮重量均为 P , 杆重不计,求平衡时角 θ 的值。②如轮重量 $P_A = 300 \text{ N}$, 欲使平衡时杆 AB 处于水平位置($\theta = 0^\circ$), 轮 B 重量 P_B 应为多少?

解 (1) 把 P_A 和 P_B 合起来, 即图 J2-8(a) 中的 P_{AB} , 其作用点位于 AB 的中点 C 。如此操作后, AB 受到三个集中力: P_{AB} , P_{NA} , P_{NB} 。根据三力平衡汇交定理, 上述三力交于一点, 即图中 H 点。由几何信息知道 $AIBH$ 为矩形, 对角线 HI 铅垂, 从而有 $\angle AIC = 60^\circ$ 。这样 $\triangle AIC$ 为等边三角形, 而 AG 垂直于底边 CI , 故有 $\theta = 30^\circ$ 。

合并重力, 三力平衡汇交

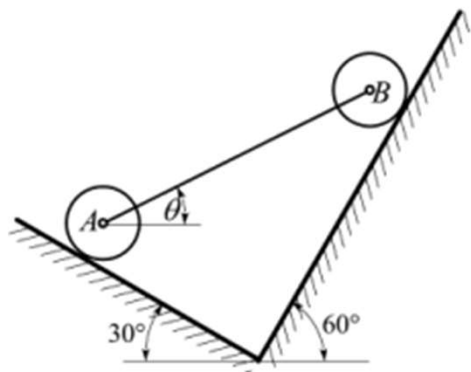


图 T2-8

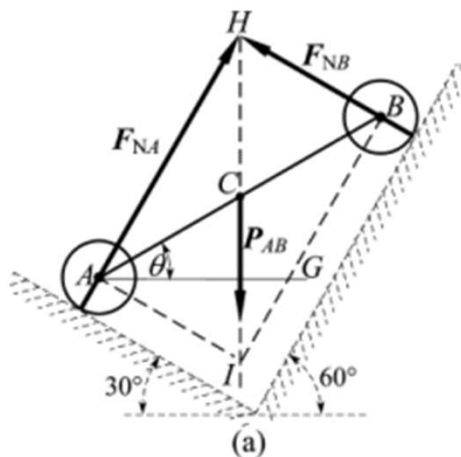
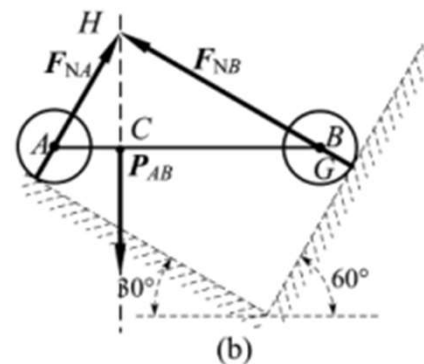
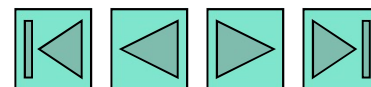


图 J2-8



(2) 当 AB 处于水平时, P_A 和 P_B 合起来的作用点 C 满足 $AC/CB = 1:3$, 而对 C 的矩平衡有 $P_A \times AC - P_B \times CB = 0$, 这样得到 $P_B = P_A \times AC/CB = 100 \text{ N}$ 。



2-11 在图 T2-11 所示结构中,各构件的自重略去不计。在构件 AB 上作用一矩为 M 的力偶。求支座 A 和 C 的约束力。

解 BC 为二力杆,因此 F_{CB} 沿 CB 方向。取 AB 分析,如图 J2-11 所示。 F_{RA} 与 F_{CB} 必须构成力偶,以便与 M 平衡,据此定出 F_{RA} 方向与 F_{CB} 平行。由力偶系平衡可得

$$F_{RA} = F_{CB} = M / (2a \sqrt{2}) = \sqrt{2}M / (4a)$$

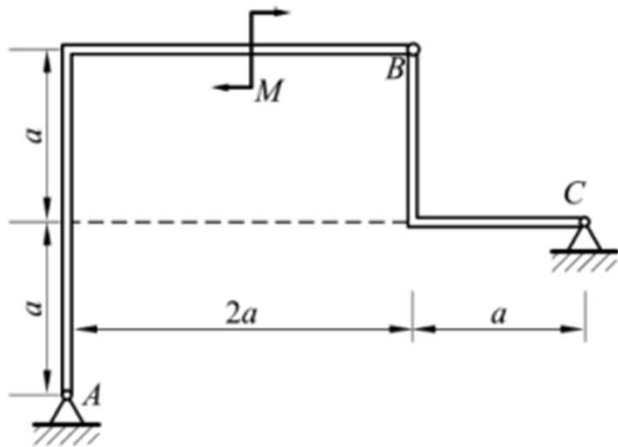


图 T2-11

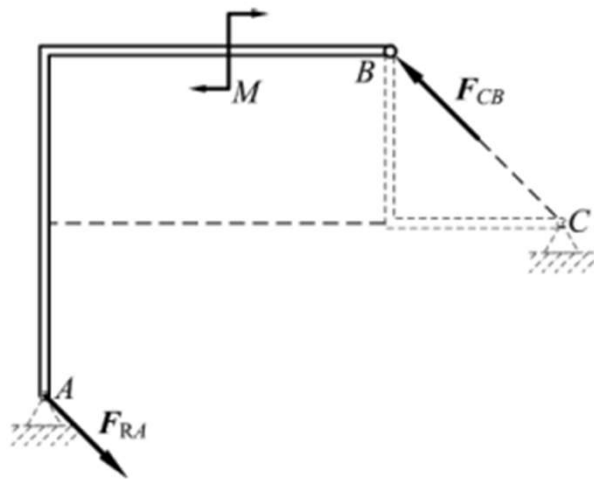
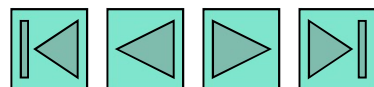


图 J2-11

力偶只能由力偶平衡

二力杆力方向为受力点连线



2-14 直角弯杆 $ABCD$ 与直杆 DE 和 EC 铰接如图。作用在杆 DE 上力偶矩 $M_2 = 40 \text{ kN}\cdot\text{m}$ 。不计各构件自重,不计摩擦。求支座 A 和 B 的约束力,以及杆 EC 所受到的力。

解 EC 为二力杆,所以 ED 为力偶与力偶平衡情形,其受力分析见图 J2-14(a)。 A 处的约束力方向垂直于支撑面。 B 铰的约束力的水平分量和垂直分量可以合成为一个集中力,因此从整体来看,也是力偶与力偶平行情形,受力分析见图 J2-14(b)。

对图 J2-14(a)有

$$\sum M = 0: \quad M - F_{EC} \times DE \times \sin\theta_E = 0$$

其中 $\theta_E = 45^\circ$ 。解得 $F_{EC} = M / (DE \sin\theta_E) = 10\sqrt{2} \text{ kN}$ 。

力偶只能由力偶平衡
二力杆力方向为受力点连线

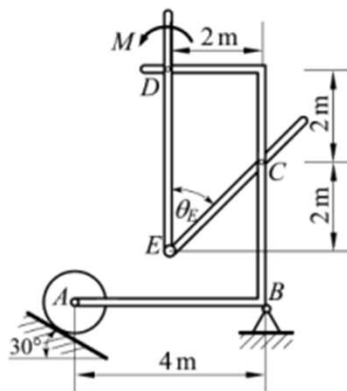


图 T2-14

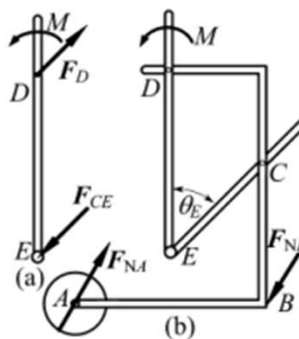


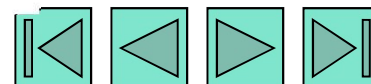
图 J2-14

对图 J2-14(b)有

$$\begin{cases} F_{RB} = F_{NA} \\ M - F_{NA} \times AB \times \cos\theta_E = 0 \end{cases}$$

解得

$$F_{RB} = F_{NA} = M / (AB \times \cos 30^\circ) = 20\sqrt{3}/3 \text{ kN}$$



2-15 在图 T2-15 所示机构中,曲柄 OA 上作用一力偶,其力偶矩为 M ;另在滑块 D 上作用水平力 F 。机构尺寸如图,各杆重量不计。求当机构平衡时,力 F 与力偶矩 M 的关系。

解 (1) 取 AO 杆为研究对象。受力分析如图 J2-15(a)所示。图中: F_{BA} 方向由二力杆 BA 性质确定; F_O 方向按力偶只能与力偶平衡确定。对该图列矩平衡方程可确定 $F_{BA} = M/(a \cos \theta)$ 。

(2) 取铰链 B 为研究对象。受力分析如图 J2-15(b)所示。图中三个力的方向均根据二力杆性质确定,并且有 $F_{AB} = F_{BA}$ 。对该图沿 η (F_{CB} 的垂直方向) 投影有

$$\sum F_{\eta} = 0: \quad F_{AB} \cos 2\theta - F_{DB} \sin 2\theta = 0$$

解得

$$F_{DB} = F_{AB} \cot 2\theta = F_{BA} \cot 2\theta = (M \cot 2\theta)/(a \cos \theta)。$$

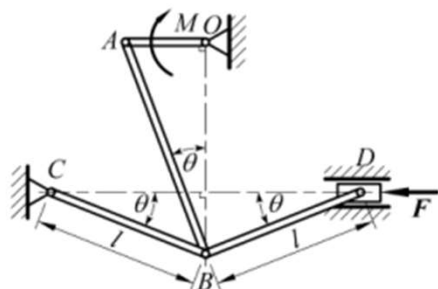


图 T2-15

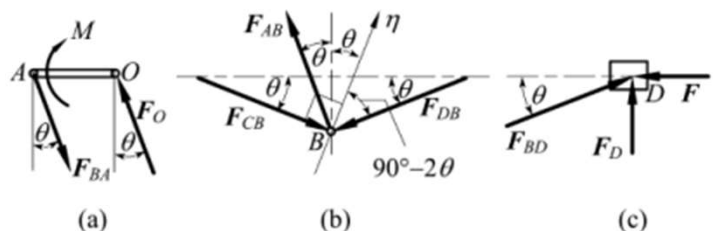


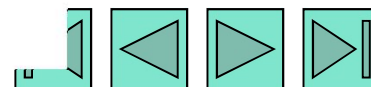
图 J2-15

(3) 取滑块 D 为研究对象。受力分析如图 J2-15(c)所示。图中 F_D 方向由滑道性质确定; F_{BD} 方向由二力杆性质确定,并且有 $F_{BD} = F_{DB}$ 。受力沿水平投影的平衡方程为

$$\sum F_x = 0: \quad F - F_{BD} \cos \theta = 0$$

解得

$$F = F_{BD} \cos \theta = (M \cot 2\theta)/a$$



2-21 如图 T2-21 所示,飞机机翼上安装一台发动机,作用在机翼 OA 上的气动力按梯形分布: $q_1=60 \text{ kN/m}$, $q_2=40 \text{ kN/m}$ 。机翼重 $P_1=45 \text{ kN}$,发动机重 $P_2=20 \text{ kN}$,发动机螺旋桨的作用力偶矩 $M=18 \text{ kN}\cdot\text{m}$ 。求机翼处于平衡状态时,机翼根部固定端 O 的受力。

解 机翼的受力分析如图 J2-21 所示。图中: 梯形载荷分解为三角形分布载荷和矩形分布载荷的叠加; 三角形分布部分的 F_3 大小为 $(q_1 - q_2) \times 9/2 = 90 (\text{kN})$, 作用线距翼根 6 m; 矩形分布的部分 F_4 的大小 $q_2 \times 9 = 360 (\text{kN})$, 作用线距翼根 4.5 m。对受力图 J2-21 列平衡方程组

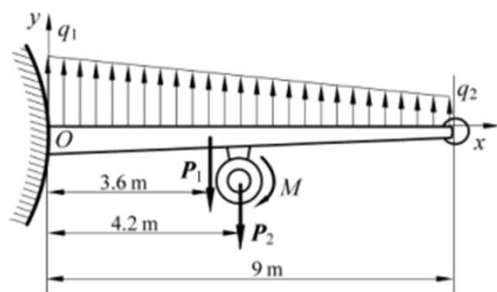


图 T2-21

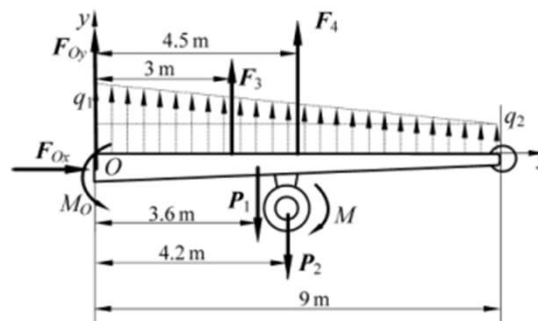


图 J2-21

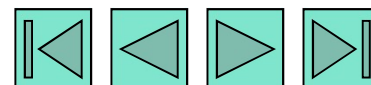
三角形分布, 作用点离最大值1/3

均匀分布, 作用点位于1/2

$$\begin{cases} \sum F_x = 0: F_{Ax} = 0 \\ \sum F_y = 0: F_{Oy} + F_3 + F_4 - P_1 - P_2 = 0 \\ \sum M_O = 0: M_O + F_3 \times 3 \text{ m} + F_4 \times 4.5 \text{ m} - P_1 \times 3.6 \text{ m} - P_2 \times 4.2 \text{ m} - M = 0 \end{cases}$$

解得

$$F_{Ox} = 0; \quad F_{Oy} = -385 \text{ kN}; \quad M_O = -1626 \text{ kN}\cdot\text{m}$$



2-37 图 T2-37 所示两等长杆 AB 与 BC 在点 B 用铰链连接,又在杆的 D、E 两点连一弹簧。弹簧的刚度系数为 k ,当距离 AC 等于 a 时,弹簧内拉力为零。点 C 作用一水平力 F 。设 $AB=l, BD=b$ 。不计杆重,求系统平衡时距离 AC 的值。

解 由几何关系可确定弹簧的原长为

$$l_0 = a \times b/l$$

(1) 先取整体为研究对象,受力分析如图 J2-37(a)所示。对点 A 写矩平衡方程

$$\sum M_A = 0: \quad F \times 0 + F_{NC} \times AC = 0$$

得到 $F_{NC}=0$ 。

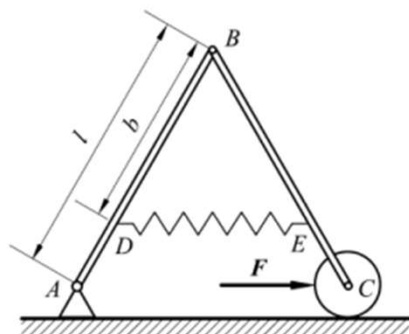


图 T2-37

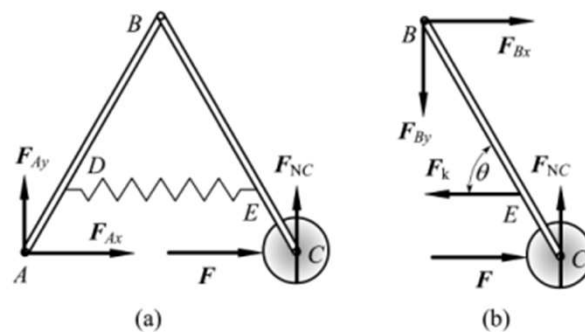


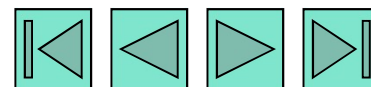
图 J2-37

(2) 取 BC 杆为研究对象,受力分析如图 J2-37(b)所示,其中弹簧力 $F_k = k(AC \times b/l - l_0)$ 。对 B 点矩平衡方程为

$$\sum M_B = 0: \quad -F_k \sin \theta \times b + F \sin \theta \times l + F_{NC} \times (l \cos \theta) = 0$$

解得

$$AC = a + (l/b)^2 F/k$$



2-39 不计图 T2-39 所示结构中各构件自重。A 处为固定端约束, C 处为光滑接触, D 处为铰链连接。 $F_1 = F_2 = 400 \text{ N}$, $M = 300 \text{ N}\cdot\text{m}$; $AB = BC = 400 \text{ mm}$, $CD = DE = 300 \text{ mm}$, $\theta = 45^\circ$ 。求固定端 A 处和铰链 D 处的约束力。

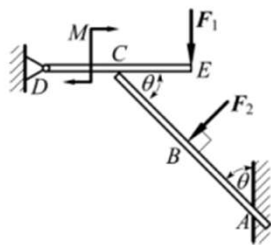


图 T2-39

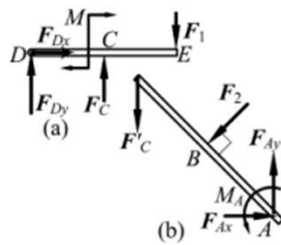


图 J2-39

判断C点的约束力!

解 取 DE 作受力分析, 如图 J2-39(a) 所示。由平衡方程

$$\begin{cases} \sum M_D = 0: -F_1 \times DE - M + F_C \times DE/2 = 0 \\ \sum F_x = 0: F_{Dx} = 0 \\ \sum F_y = 0: F_{Dy} - F_1 + F'_C = 0 \end{cases}$$

解得

$$F_C = 2F_1 + (2M/DE) = 1800 \text{ N}$$

$$F_{Dx} = 0; \quad F_{Ay} = F_1 - F_C = -1400 \text{ N}$$

取 CBA 作受力分析, 如图 J2-39(b) 所示。由平衡方程

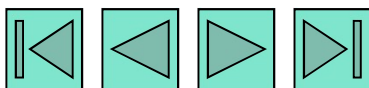
$$\begin{cases} \sum M_A = 0: M_A + F_2 \times AB + F'_C \times AC \sin\theta = 0 \\ \sum F_x = 0: F_{Ax} - F_2 \sin\theta = 0 \\ \sum F_y = 0: F_{Ay} - F_2 \cos\theta - F'_C = 0 \end{cases}$$

解得

$$M_A = -F_2 \times AB - F'_C \times AC \sin\theta = -1178 \text{ kN}\cdot\text{m}$$

$$F_{Ax} = F_2 \sin\theta = 200\sqrt{2} \text{ N} = 282.8 \text{ N}$$

$$F_{Ay} = F_2 \cos\theta + F'_C = 2083 \text{ N}$$

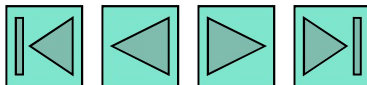


铰链可以单独拿出来讨论

$$\sum M_D = 0; \quad F_{Cy} \times 2a - M = 0$$

(2) 取 T 形杆 BCE 为研究对象, 受力分析如图 J2-43(b) 所示, 图中 $F'_{Cx} = F_{Cx}$ 和 $F'_{Cy} =$ 。列平衡方程

$$\begin{cases} \sum F_y = 0: F_{By} + F'_{Cy} - F_1 = 0 \\ \sum M_C = 0: F_{By} \times a + F_1 \times a - F_{Bx} \times a = 0 \end{cases}$$

$$F_{By} = F_1/2; \quad F_{Bx} = 3F_1/2$$
$$\begin{cases} \sum F_y = 0: -F'_{By} - F_{BAy} - F_2 = 0 \\ \sum F_x = 0: -F'_{Bx} + F_{BAx} = 0 \end{cases}$$
$$F_{BAy} = -F_2 - F'_{By} = -F_1/2 - F_2; \quad F_{BAx} = F'_{Bx} = 3F_1/2$$
$$\left\{ \begin{array}{l} \sum F_x = 0: -F'_{BAx} - F_{Ax} = 0 \\ \sum F_y = 0: F'_{BAy} + F_{Ay} = 0 \\ \sum M_A = 0: M_A - F'_{BAy} \times a = 0 \end{array} \right.$$
$$\begin{aligned} F_{Ax} &= -F'_{BAx} = -3F_1/2; & F_{Ay} &= -F'_{BAy} = F_1/2 + F_2; \\ M_A &= F'_{BAy}a = -a(F_1/2 + F_2) \end{aligned}$$


2-57 求图 T2-57 所示桁架杆 1, 2, 3 的内力。

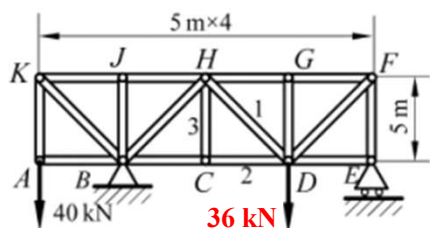


图 T2-57

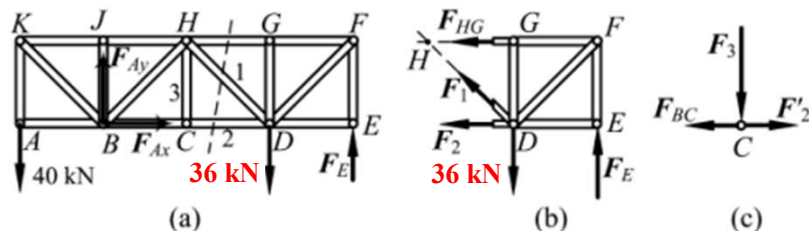


图 J2-57

解 (1) 整体受力分析如图 T2-57(a)所示。对 B 的矩平衡方程为

$$\sum M_B = 0: F_E \times 15 - 36 \text{ kN} \times 10 + 40 \text{ kN} \times 5 = 0$$

解得

$$F_E = 32/3 \text{ kN} = 10.67 \text{ kN}$$

(2) 作截面切断 HG, 1 和 2 杆, 取右侧部分, 受力分析如图 J2-57(b)所示。列平衡方程

$$\sum M_H = 0: F_2 \times 5 + F_E \times 10 - 36 \text{ kN} \times 5 = 0$$

$$\sum F_y = 0: F_1 \sin 45^\circ + F_E - 60 \text{ kN} = 0$$

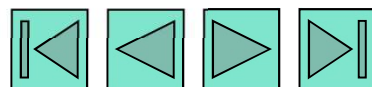
解得

$$F_2 = -44/3 \text{ kN} = -14.67 \text{ kN}, \quad F_1 = 76\sqrt{2}/3 \text{ kN} = 35.83 \text{ kN}$$

(3) 取节点 C, 受力分析如图 J2-57(c)所示。列平衡方程

$$\sum F_y = 0: F_3 = 0$$

可得 $F_3 = 0$ 。



2-60 平面桁架的支座和载荷如图 T2-60 所示,求杆 1、2 和 3 的内力。

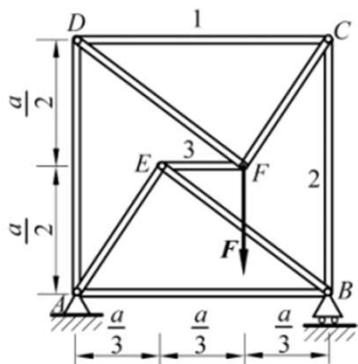
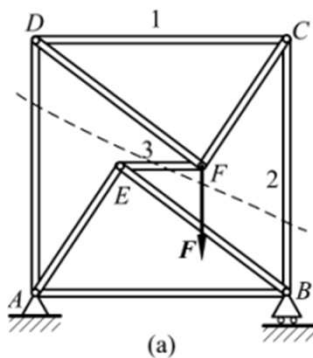


图 T2-60



(a)

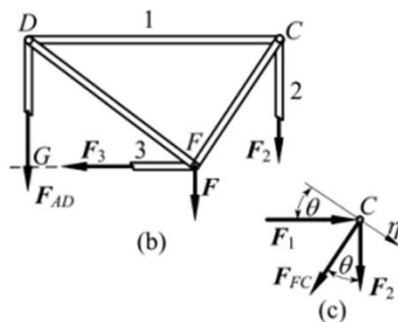


图 J2-60

解 按图 J2-60(a)虚线所示截面,取截开的上半部分进行分析,受力如图 J2-60(b)所示。列平衡方程

$$\begin{cases} \sum F_x = 0: F_3 = 0 \\ \sum M_D = 0: F_2 \times a + F \times 2a/3 = 0 \end{cases}$$

技巧1: 取通过三个杆的截面

解得

$$F_3 = 0; \quad F_2 = -2F/3$$

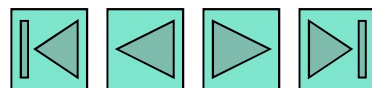
再取节点 C,受力分析如图 J2-60(c)所示。沿 η 方向(F_{FC} 的垂直方向)投影有

$$F_2 \sin\theta + F_1 \cos\theta = 0$$

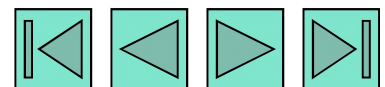
可解出

$$F_1 = F_2 \tan\theta = 2/3F \times 2/3 = 4F/9$$

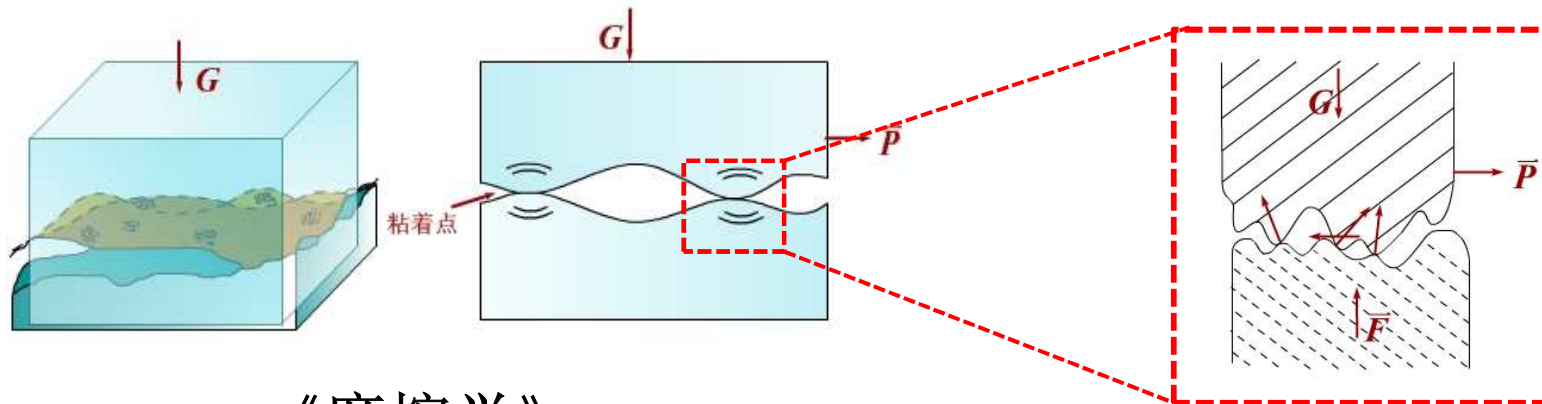
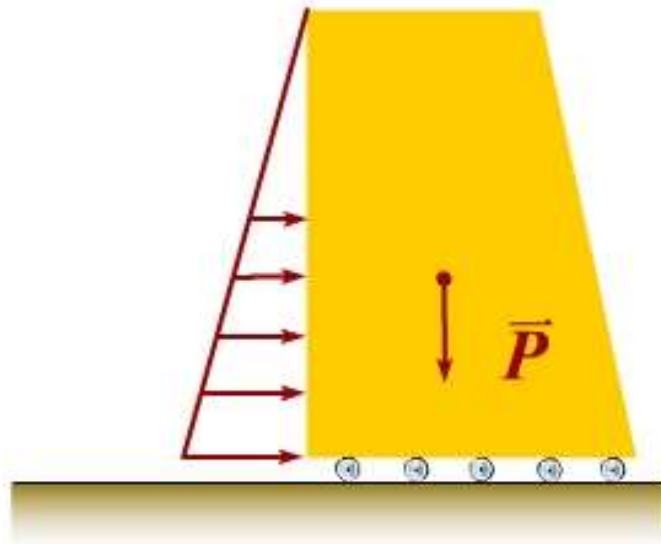
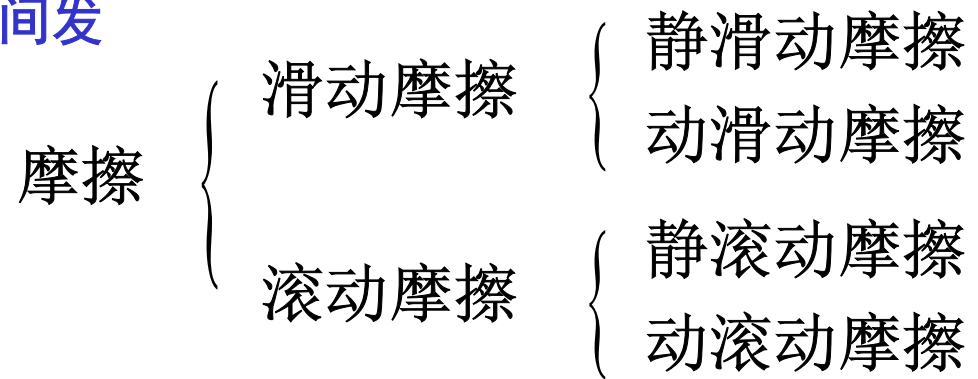
技巧2: 投影到未知力的垂直方向



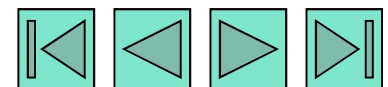
第四章 摩 擦



摩擦被定义为“在两个粗糙表面之间发生的抵抗相对运动的现象。”



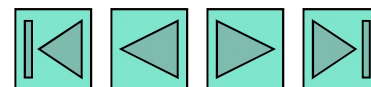
《摩擦学》



两本电话本交叠，产生的摩擦力可以有多大？

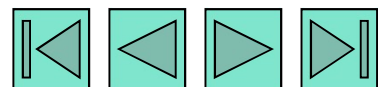


https://www.bilibili.com/video/BV1aB4y1J72P/?share_source=copy_web&vd_source=4340fc1f5ffdd1da9b42868674483118



本章主要内容：

1. 掌握静、动摩擦系数，了解摩擦角、自锁和滚动摩阻的概念。
2. 能熟练应用解析法求解考虑摩擦时物体的平衡问题。（摩擦力与法向约束力的作用点）



§ 4-1 滑动摩擦

1. 滑动摩擦力

接触面对物体作用的切向约束力

2. 平衡状态

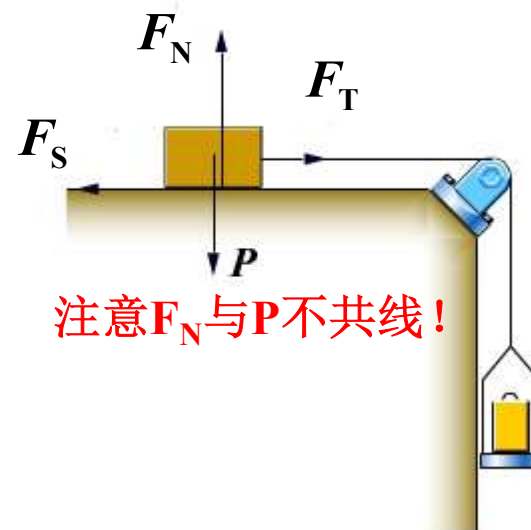
A) 静止; B) 临界 (将滑未滑); C) 匀速滑动

3. 静滑动摩擦力的特点

方向: 沿接触处的公切线,
与相对滑动趋势反向;

大小: $0 \leq F_s \leq F_{\max}$ (范围)

$F_{\max} = f_s F_N$ (库仑摩擦定律)



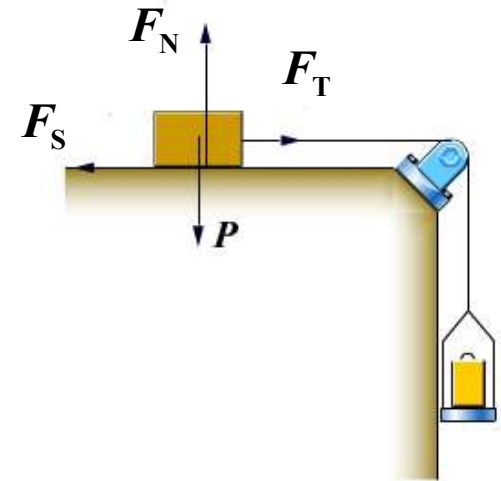
$$\sum F_x = F_T - F_S = 0$$

$$F_S = F_T$$

4. 临界滑动摩擦力的特点

方向：沿接触处的公切线，与相对滑动趋势反向；

$$\text{大小： } F_{\max} = f_s F_N$$

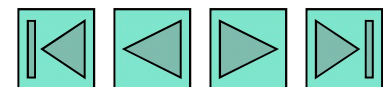
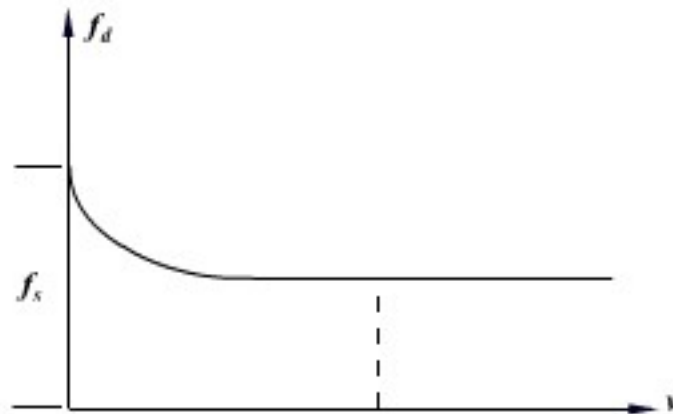


5. 动滑动摩擦力的特点

方向：沿接触处的公切线，与相对滑动趋势反向；

$$\text{大小： } F_d = f_d F_N$$

$f_d < f_s$ (对多数材料，通常情况下, f_s 随着速度增加而下降)



一. 摩擦角

\vec{F}_{RA} -- 全约束力：法向约束力+切向摩擦力

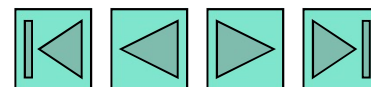
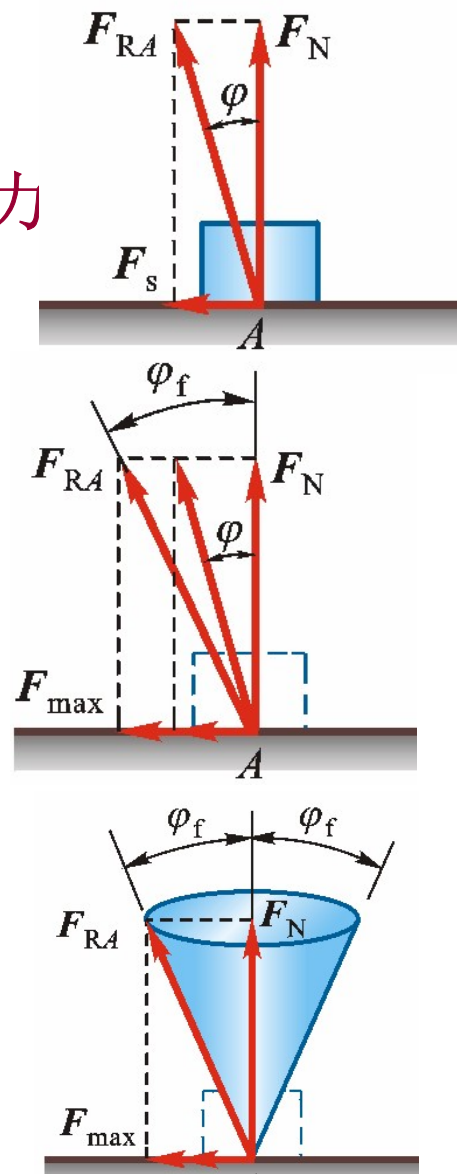
物体处于临界平衡状态时，全约束力和法线间的夹角--**摩擦角**

$$\tan \varphi_f = \frac{F_{\max}}{F_N} = \frac{f_s F_N}{F_N} = f_s$$

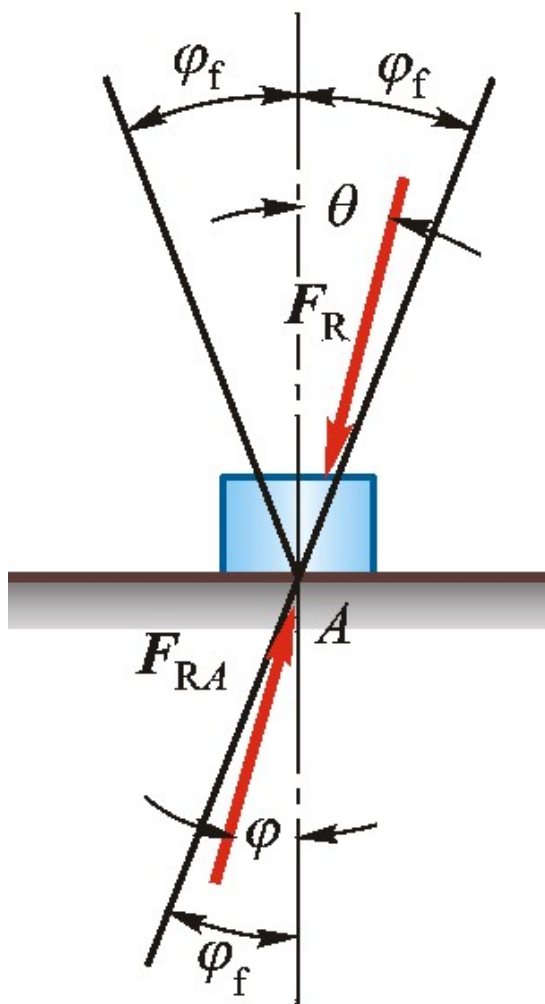


全约束力和**法线**间的夹角的正切等于**静滑动摩擦系数**。

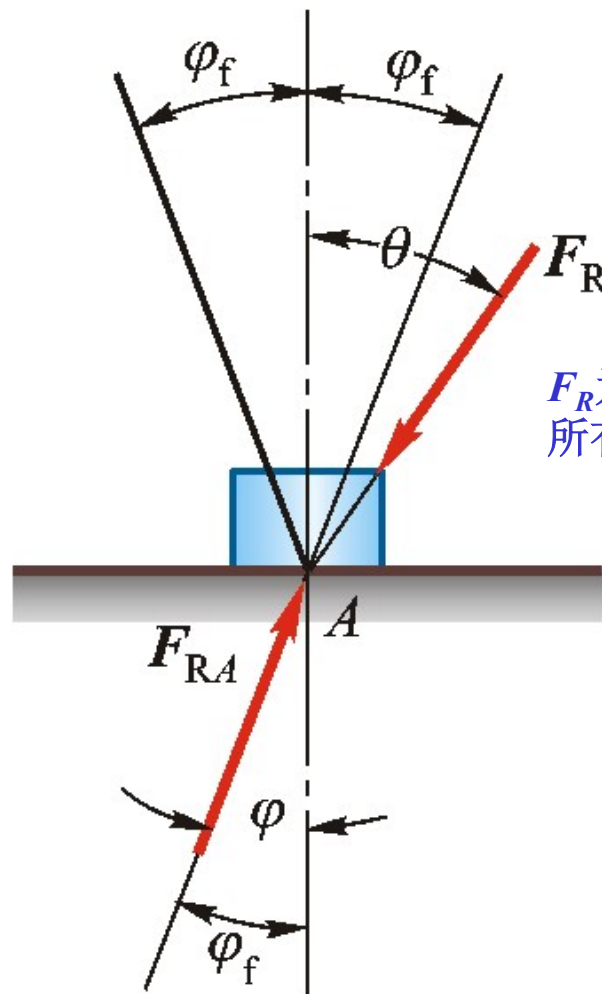
摩擦锥 $0 \leq \varphi \leq \varphi_f$
 (全约束力只能在摩擦锥内部)



二. 自锁现象

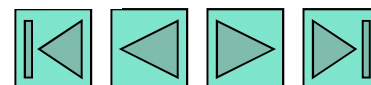


二力平衡，自锁

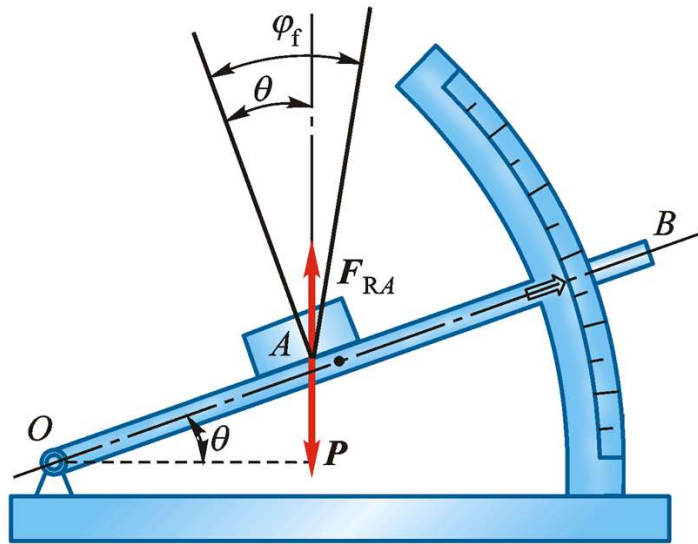


F_R 为包括重力在内
所有主动力的合力

全约束力最大角度为 φ_f ，移动



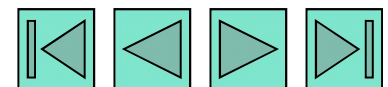
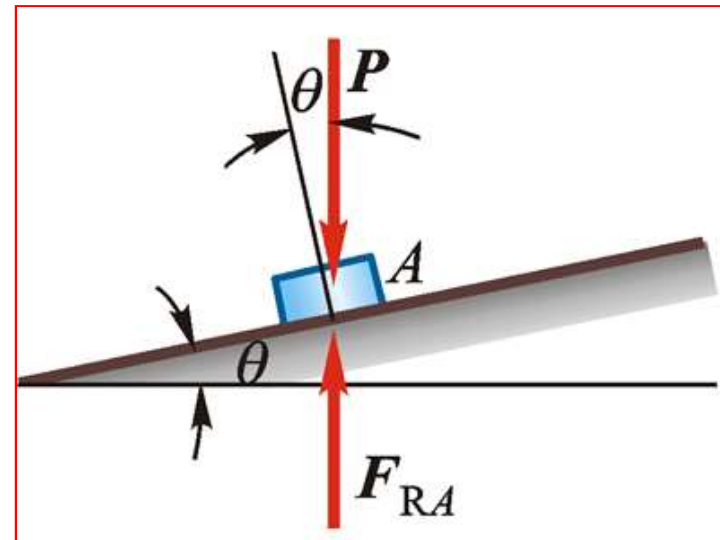
三. 测定摩擦系数的一种简易方法



$$\tan \theta = \tan \varphi_f = f_s$$

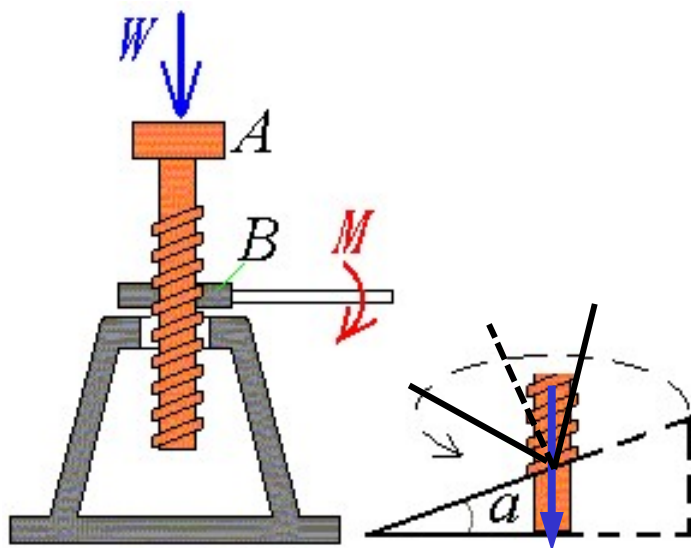
斜面自锁条件

$$\theta \leq \varphi_f$$



§ 4-2 摩擦角和自锁现象

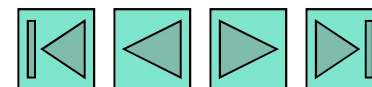
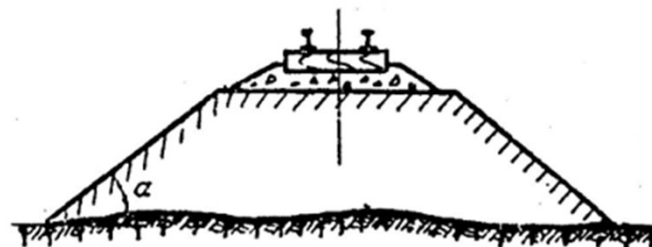
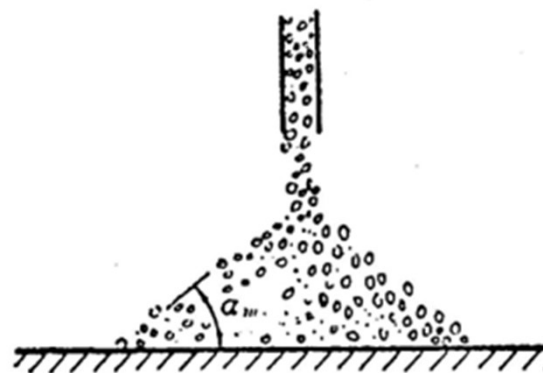
千斤顶



自锁条件

$$\alpha \leq \varphi_f$$

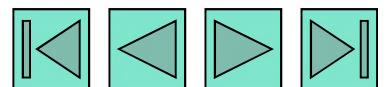
粮食、沙子等最大堆放角度



仍为平衡问题，平衡方程照用，求解步骤与前面基本相同。

几个新特点

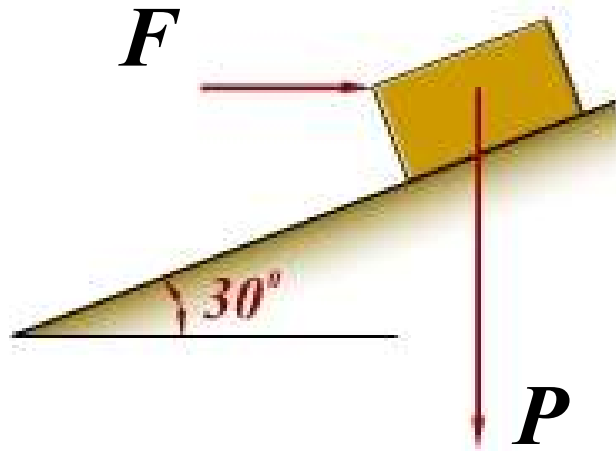
- 1 画受力图时，必须考虑摩擦力以及法向约束力的作用点（法向约束力不一定与重力重合）；
- 2 严格区分物体处于临界、非临界状态；
- 3 因 $0 \leq F_s \leq F_{\max}$ ，问题的解有时在一个范围内（可以先假设平衡，进行求解）。
- 4 摩擦面全约束反力 F_R 的作用线一定位于摩擦锥内；



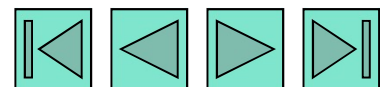
例4-1 (平衡判断)

已知: $P = 1500\text{N}$, $f_s = 0.2$, $f_d = 0.18$, $F = 400\text{N}$ 。

求: 物块是否静止, 摩擦力的大小和方向。



解此类问题的思路是: 先假设物体静止和摩擦力的方向, 应用平衡方程求解, 将求得的摩擦力与最大静摩擦力比较, 确定物体是否静止



§ 4-3 考虑滑动摩擦时物体的平衡问题

解： 设物块平衡，假设摩擦力向下，画受力图

$$\Sigma F_x = 0 \quad F \cos 30^\circ - P \sin 30^\circ - F_s = 0$$

→ $\Sigma F_y = 0 \quad -F \sin 30^\circ - P \cos 30^\circ + F_N = 0$

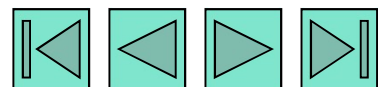
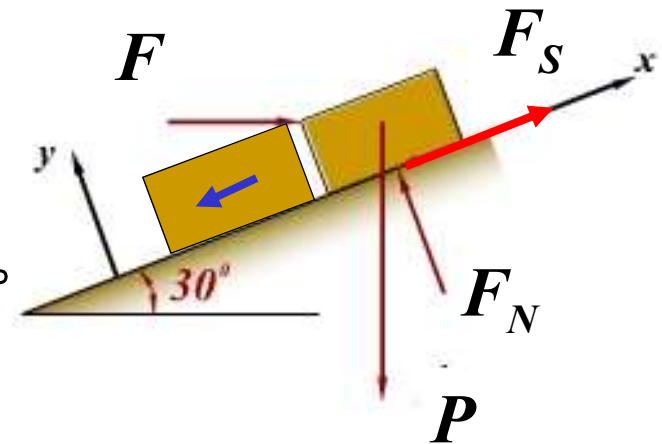
$$F_s = -403.6 \text{ N (向上)} \quad F_N = 1499 \text{ N}$$

$$\text{而 } F_{\max} = f_s F_N = 299.8 \text{ N}$$

$|F_s| > F_{\max}$ ，物块不可能在斜面上静止，而是向下滑动

→ 物块沿斜面向下运动（非平衡状态）。摩擦力为**动滑动摩擦力**，动摩擦力方向沿斜面向上。

$$F_d = f_d F_N = 269.8 \text{ N, 向上.}$$



作业

教材习题： 3-25, 4-3, 4-15

(注： 4-15中失去平衡有四种情况
： 上滑、下滑、前翻、后翻)

